# 淡水生物水质基准技术报告—锑

(征求意见稿)

# 声明

国家环境基准是基于环境因子与特定对象之间的剂量——效应(反应)关系,结合我国生态环境特点,不考虑社会、经济及技术等方面因素,做出的科学判断,不具有法律强制力,可作为制修订生态环境质量标准、评估生态环境风险以及进行生态环境管理的科学依据。随着科学研究的不断发展和深入,国家环境基准也将适时修订和更新。

国家环境基准由生态环境部负责组织制定。

党的十八大以来,我国将提高生态环境风险防范和应对能力作为生态文明体制改革的重要内容,要把生态环境风险纳入常态化管理,系统构建全过程、多层级生态环境风险防范体系。环境基准是以环境暴露、毒理效应与风险评估为核心,揭示环境因素对人群健康和生态安全影响的客观规律。建立国家环境基准体系,研究制定符合我国生态环境特征的环境基准,是提升生态安全风险研判、评估、应对和处置能力的科学基础,可为建立实施分区域、差异化、精准管控的生态环境管理制度提供科学依据。

环境保护法等法律政策和生态环境部"三定"职责,明确鼓励开展环境基准研究、制定环境基准。2017年以来,生态环境部印发了《国家环境基准管理办法(试行)》,成立了国家生态环境基准专家委员会,制定了环境基准工作方案。在充分吸收国内外最新研究成果的基础上,结合我国区域特征和生态环境管理需要,生态环境部从制定水质环境基准入手进行探索和实践,陆续发布国家环境基准推导技术指南,规范基准推导程序、技术和方法。

根据《国家环境基准管理办法(试行)》第九条,"为阐述生态环境基准制定的具体方法和过程,生态环境基准发布时需编制技术报告作为附件"。《淡水生物水质基准技术报告一锑》分为7章和3个附录:第1章概述了锑基准制定的基本情况;第2章介绍了国内外锑基准的研究进展;第3章介绍了锑化合物的环境问题;第4章介绍了基准制定所依据的文献和数据的筛选方法与评价;第5章介绍了基准推导的方法和结果;第6章为基准推导质量评价;第7章为不确定性分析;附录A和B分别为锑对淡水水生生物的急性、慢性毒性数据;附录C提供了实验室自测毒性数据实验报告。

《淡水生物水质基准一锑》由生态环境部法规与标准司组织中国环境科学研究院、贵州大学、甘肃省生态环境科学设计研究院和中国人民大学,依据《淡水生物水质基准推导技术指南》(HJ 831—2022)进行推导并编制技术报告。

# 缩略语说明

序号	缩略语	中文名称	英文名称	単位
1	AF	评估因子	assessment factor	_
2	ASTM	美国材料试验协会	American Society for Testing and Materials	_
3	ATV	急性毒性值	acute toxicity value	μg/L
4	AVE	同效应急性值	acute value for the same effect	μg/L
5	CAS	美国化学文摘服务社	Chemical Abstracts Service	_
6	CTV	慢性毒性值	chronic toxicity value	μg/L
7	CVE	同效应慢性值	chronic value for the same effect	μg/L
8	EC <sub>50</sub>	半数效应浓度	50% effect concentration	μg/L
9	ЕСОТОХ	生态毒性数据库	ECOTOXicology Knowledgebase	_
10	EINECS	欧洲现存商业化学物品目录	European Inventory of Existing Commercial Chemical Substances	_
11	GLP	良好实验室规范	good laboratory practice	_
12	HC <sub>X</sub>	x%物种危害浓度	hazardous concentration for x% of species	μg/L
13	ISO	国际标准化组织	International Organization for Standardization	_
14	LAF	水生生物长期水质基准的评估因子	long-term assessment factor	_
15	LC <sub>50</sub>	半数致死浓度	50% of lethal concentration	μg/L
16	LOEC	最低观察效应浓度	lowest observed effect concentration	μg/L
17	LWQC	长期水质基准	long-term water quality criteria	μg/L
18	MATC	最大容许毒物浓度	maximum acceptable toxicant concentration	μg/L
19	NOEC	无观察效应浓度	no observed effect concentration	μg/L

序号	缩略语	中文名称	英文名称	单位
20	OECD	经济合作与发展组织	Organization for Economic Cooperation and Development	_
21	SAF	水生生物短期水质基准的评估因子	short-term assessment factor	_
22	SSD	物种敏感度分布	species sensitivity distribution	_
23	SWQC	短期水质基准	short-term water quality criteria	μg/L
24	US EPA	美国国家环境保护局	United States Environmental Protection Agency	_
25	WOS	科学引文索引数据库	Web of Science	_

# 目 录

1	概述	1
2	国内外研究进展	1
3	锑的环境问题	3
	3.1 理化性质	3
	3.2 我国淡水环境中锑的浓度水平	4
	3.3 锑对淡水生物的毒性	5
	3.4 水质参数对锑毒性的影响	6
4	毒性数据筛选与评价	6
	4.1 数据需求	6
	4.2 资料检索	7
	4.3 数据筛选	8
	4.3.1 筛选方法	8
	4.3.2 筛选结果	11
	4.4 数据评价	11
	4.4.1 评价方法	11
	4.4.2 评价结果	12
	4.5 实验室自测锑毒性数据	13
5	基准推导	14
	5.1 毒性数据预处理	14
	5.1.1 毒性数据使用	14
	5.1.2 同效应急性值计算	15
	5.1.3 同效应慢性值计算	16
	5.2 模型拟合与评价	17
	5.3 物种危害浓度确定	20
	5.4 基准定值和表述	21
	5.4.1 基准定值	21

5.4.2 基准确定与表述	21
6 质量评价	22
7 不确定性分析	23
参考文献	24
附录 A 锑对中国淡水水生生物的急性毒性数据	29
附录 B 锑对中国淡水水生生物的慢性毒性数据	31
附录 C 实验室自测毒性数据实验报告	33

#### 1 概述

锑(Sb)具有较强的毒性及潜在的致癌性,达到一定浓度后会对水生生物及生态系统产生有害影响。许多国家以及国际标准化组织(ISO)将其纳入水体基本监测指标,也是我国地表水环境质量标准等水质标准的控制项目。《淡水生物水质基准一锑》依据《淡水生物水质基准推导技术指南》(HJ831—2022)制定,反映现阶段地表水环境中锑95%的中国淡水生物及其生态功能不产生有害效应的最大浓度。

基准推导过程中,共纳入 3000 篇中英文文献、223 条毒理数据库数据和 3 条实验室自测数据,经质量评价后 38 条数据为无限制可靠数据和限制性可靠数据,可用于基准推导,涉及 24 种淡水生物,基本涵盖了鲫、鲤等我国淡水生物优势种。基于物种敏感度分布(SSD)法,推导得到锑的短期水质基准(SQWC)和长期水质基准(LQWC),用总锑浓度表示,分别为 215.7 μg/L 和 23.05 μg/L。

# 2 国内外研究进展

表 1 对比了国内外锑水质基准研究进展状况。美国是较早开始水质基准研究的国家,1978 年<sup>[1]</sup>,美国发布了保护淡水生物锑基准,基于当时有限的数据采用评价因子法推导了淡水生物锑基准,所用的锑的化合物均为三氯化锑,推导的基准作为总锑基准。1980 年<sup>[2]</sup>根据最新科学进展进行了修订,用于推导的数据增加了新的锑化合物,其中包括三氯化锑、三氧化二锑和酒石酸锑钾,均为三价锑化合物,推导的基准依然作为总锑基准。1988 年<sup>[3]</sup> 美国基于新增的文献发布了三价锑基准取代了 1980 年版本基准,并假设三价锑化合物在测试过程中始终保持三价形态。

2000年,澳大利亚和新西兰[4]发布了锑的淡水生物水质基准,根据鱼类数据 采用 1000 倍评估因子,推导出三价锑的淡水低可靠性触发值为 9 μg/L,该数值 仅作为指示性临时工作水平使用,可认为是长期基准。

在2023年,加拿大不列颠哥伦比亚省<sup>[5]</sup>发布了锑的保护淡水生物水质基准,该基准基于三价锑毒性大于或不低于五价锑毒性的研究结论,认为采用三价锑的毒理数据推导锑水质基准可以有效保护两种不同价态对淡水生物的影响。因此,

采用三价锑化合物的毒性实验数据推导总锑的淡水生物基准。

我国锑水质基准起步较晚,在借鉴、引用发达国家水质基准理论方法的基础上,有所创新和突破。由于水质基准推导方法、使用物种的差异,不同国家甚至同一国家在不同时期制定的锑水质基准也存在较大差异(表2)。因此,在条件允许的情况下,各国、各地区应根据本国或本地区生态环境特点开展水质基准研究,制定水质基准。

表1 国内外淡水生物水质基准研究进展

内容	国 外	中 国
基准推导方法	主要包括评价因子法、SSD 法、毒性百分数排序法	对评价因子法、SSD 法、毒性百分数排序法 均进行了研究,并在 HJ 831—2022 中确定使 用 SSD 法
物种来源	本土物种、引进物种、国际通用物种	中国自然水域中分布较为广泛的物种
物种选择	基于各个国家生物区系的差异,各个国家物种选择与数据要求不同。例如,加拿大[5]要求3种及以上鱼类、3种及以上水生或半水生无脊椎动物;美国[2]要求不少于3门8科;澳大利亚和新西兰[4]要求不少于4个类群5种水生生物	按照 HJ 831—2022 规定,基准推导至少需要 10 个淡水生物物种,至少涵盖 6 类物种,并 涵盖包括生产者在内的 3 个不同营养级
毒性测试方法	参照采用国际标准化组织(ISO)、经济合作与发展组织(OECD)等规定的水生生物毒性测试方法;部分发达国家采用本国制定的水生生物毒性测试方法	参照 ISO、OECD 等规定的水生生物毒性测试方法;采用国家标准方法
相关毒性数据库	美国生态毒理数据库(ECOTOX) (http://cfpub.epa.gov/ecotox/) PAN 农药行动网络 (http://www.pesticideinfo.org/)	中国知识基础设施工程、万方知识服务平台、维普网等文献数据库。无生态毒性数据库

表 2 淡水生物锑水质基准

国家	制修订时间	形态	基准值	(µg/L)	物种数	(个)	推导方法	发布部门	
		10念	SWQC	LWQC	SWQC	LWQC	推 守 万 依	及仰部[]	
	1978	总锑	1000	120	2	2			
美国	1980	总锑	9000	1600	2	2	评价因子法	US EPA	
	1988	三价锑	87.5	29.81	11	2			

澳大利亚和新西兰	2000	三价锑	-	9	-	5	评价因子法	澳大利亚与新西兰 环境保护委员会和 农业与资源管理委 员会
加拿大	2023	总锑	250	74	12	12	SSD 法	加拿大不列颠哥伦 比亚省水、土地和 资源管理部
中国	2025	总锑	215.7	23.05	15	12	SSD 法	中华人民共和国生 态环境部

## 3 锑的环境问题

# 3.1 理化性质

锑是一种银白色、易碎的金属,锑及其化合物广泛用于半导体、电池、阻燃 材料等工业领域。锑通常不会以游离金属形式存在,而是与其他元素形成化合物, 如三氯化锑(SbCl<sub>3</sub>)、三氧化二锑(Sb<sub>2</sub>O<sub>3</sub>)等。

在自然水中发现了两种形式的锑,在适度氧化条件下存在锑(III),而在高度氧化环境中锑(V)占主导地位。锑的水溶性因化合物类型不同而变化,某些化合物(如  $Sb_2O_3$ )难溶于水,而某些有机锑化合物(如酒石酸锑钾)水溶性较高。本报告中锑的化合物主要为三价锑的化合物,主要涉及氯氧化锑、三氯化锑、酒石酸锑钾和三氧化二锑。

表 3 锑及其化合物的理化性质[6]

物质名称	锑	氯氧化锑	三氯化锑	酒石酸锑钾	三氧化二锑	
分子式	Sb	SbOCl	SbCl₃	C <sub>8</sub> H <sub>4</sub> K <sub>2</sub> O <sub>1 2</sub> Sb <sub>2</sub> ·3H <sub>2</sub> O	Sb <sub>2</sub> O <sub>3</sub>	
CAS 号	7440-36-0	7791-08-4	10025-91-9	28300-74-5	1309-64-4	
EINECS 号	231-146-5	232-238-8	233-047-2	234-293-3	215-175-0	
物理形态	固体	固体	固体	固体	固体	
分子量 (g/mol)	121.75	173.21	228.11	333.93	291.5	
密度 (g/cm³)	6.688	5.7	3.14	2.6	5.2	

物质名称	锑	氯氧化锑	氯氧化锑 三氯化锑		三氧化二锑	
熔点(℃)	630.5	170	73.4	100	656	
沸点(℃)	1325-1750	-	283	-	1550	
水溶性	几乎不溶	难溶解	6016 g/L	83 g/L	极难溶解	
用途	-	主要用途包括作 为阻燃剂、制药工 业和锑盐的制造	用作检测维生素 A 和相关类胰岛 素的试剂	用于治疗血吸虫 病和利什曼病	在电器、纺织品、 皮革和涂料中用 作阻燃剂	

# 3.2 我国淡水环境中锑的浓度水平

我国地表水环境监测基本项目不包括锑,锑被列为集中式生活饮用水地表水源地特定项目。根据近 10 年中国生态环境状态公报,我国县级城镇和地级城市及以上城市的地表水水源监测断面(点位)达标率均在 99%以上,且超标点位的主要超标指标不包括锑。

从文献报道看(表 4),我国地表水中锑的浓度水平差异明显,近锑矿区的地表水锑浓度较高。

表 4 中国地表水中锑含量 (µg/L)

流域 名称	水系名称	Я	<b>采样时间</b>	采样位置	采样 数量	检测方法	最小值	最大值	均值	来源
	锦江河	2018	11月	锦江成都段	56	电感耦合等离子 体质谱法	0.08	0.26	0.14	[7]
	巢湖	2018	4月、7月、 10月、12月	安徽	332	电感耦合等离子 体质谱法	0.04	3.53	0.41	[8]
远离 锑矿	西江	2015	7月	主河道下游	129	电感耦合等离子 体质谱法	0.34	1.27	0.65	[9]
流域	整汀		上中下游	74	电感耦合等离子	0.042	4.393	0.278	[10]	
	特孔.		1月	上十十一	7 -	体质谱法	0.071	0.808	0.277	[10]
	太浦河	2021	4月、7月	上中下游	60	60 电感耦合等离子 体质谱法	ND	3	3.325	[11]
	从佃刊	2021	1月、10月		00		5	20	3.323	[11]
近锑矿流	都柳江	2017	5 月	受锑矿区影响 河段及上游背 景点	68	电感耦合等离子 体质谱法	0.17	13350	791.6	[12]
域	裕溪河	2017	1月、4月	中游	88	电感耦合等离子	2	2504	964.6	[13]
	田沃門	2017	7月、10月	下游	60	体质谱法	2	165.5	90.7	

流域 名称	水系名称	Я	<b>采样时间</b>	采样位置	采样 数量	检测方法	最小值	最大值	均值	来源
	涟溪河	2008	12 月	冷水江市区段	-	氢化物发生-原 子荧光光谱法	224	2099	1163	[14]
	青丰河	2008	12月	冷水江市区段	-	氢化物发生-原 子荧光光谱法	2	6384	1151.2	[14]
	资江	2008	12 月	冷水江市区段	-	氢化物发生-原 子荧光光谱法	6	240	28.4	[14]

# 3.3 锑对淡水生物的毒性

锑不是生物必需元素,可能对生物的生长、繁殖、运动、发育及呼吸等生命活动产生不同程度的毒害效应<sup>[15]</sup>。三价锑表现出较强的毒性,不仅具有致畸性,还可能增加致癌风险。三价锑主要通过被动扩散的方式穿透细胞膜的脂质双分子层,进入细胞内部,在作用部位引发一系列生物毒性反应,最终可能导致遗传毒性<sup>[16]</sup>。多项研究评估了三价锑和五价锑对藻类、大型水生植物、无脊椎动物、鱼类、两栖类等不同生物的潜在毒性,其中大部分研究表明三价锑比五价锑毒性更高<sup>[17,18]</sup>。目前尚未有对三价锑和五价锑协同毒性的研究报道。因此,本报告采用三价锑化合物的毒性实验数据推导的基准值,能够有效防范水体中锑对淡水生物造成的毒害效应。

基于急性毒性效应测试终点不同,急性毒性数据(ATV)分为生长(体重、体长、生长率、生物量等)和存活(存活率、死亡率)两类,效应指标主要包括半数致死浓度( $LC_{50}$ )、半数效应浓度( $EC_{50}$ )。对锑的淡水生物 ATV 数据分析表明,ATV 数据类型包含生长和存活两类,本报告推导同效应急性值(AVE)时,以  $LC_{50}$ 和  $EC_{50}$ 作为 ATV 计算 AVE。锑对淡水水生生物急性毒性数据检索需求见表 5。

基于慢性毒性效应测试终点不同,慢性毒性数据(CTV)分为生长(体重、体长、生长率、生物量等)、繁殖(孵化率、孵化时间、性别比等)和存活(存活率、死亡率)三类,效应指标包括 20%效应浓度(EC<sub>20</sub>)、10%效应浓度(EC<sub>10</sub>)、最大容许毒物浓度(MATC)、无观察效应浓度(NOEC)、最低观察效应浓度(LOEC)、EC<sub>50</sub>和 LC<sub>50</sub>等。MATC 是 NOEC 和 LOEC 的几何平均值。对锑的淡水生物 CTV 数据分析表明,CTV 数据类型包含生长、繁殖和存活三类,本基准以 NOEC、LOEC、MATC、LC<sub>50</sub>、EC<sub>50</sub>作为 CTV 进行同效应慢性值(CVE)

的计算。针对生命周期较短的水生生物,将暴露时间小于 21 天但超过一个世代的  $EC_{50}$  值作为慢性毒性值,用于长期基准制定。锑对淡水水生生物慢性毒性数据检索需求见表 5。

# 3.4 水质参数对锑毒性的影响

水质参数包括硬度、酸碱度、温度、天然有机物等。目前水质参数对锑毒性影响的研究非常有限。大分子天然有机物(如腐殖质)与锑的络合会影响锑的迁移性和生物利用性,但典型地表水环境的 pH 和浓度条件下腐殖质与锑的结合作用不显著<sup>[19,20]</sup>。水环境中的铁锰羟基氧化物对锑有吸附作用,会降低锑的溶解度和迁移性,然而现有的研究仍无法对其吸附作用与 pH、硬度等水质参数的影响建立定量关系<sup>[21,22]</sup>。不同 pH(5.5,7 和 8.5)未显著影响锑对大型溞的存活和繁殖毒性效应值<sup>[23]</sup>。基于现有的文献资料尚不足以建立起锑对淡水生物毒性效应与pH、硬度、温度、天然有机质等水质参数的定量相关关系,因此本次基准推导未进行相关校正。

# 4 毒性数据筛选与评价

#### 4.1 数据需求

依据 HJ 831—2022 附录 A,本次基准推导所需数据类别包括污染物基本信息、污染物毒性数据和受试生物等信息,见表 5。

表 5 毒性数据检索要求

数据类别			具体指标
	,	化合物名称	三氯化锑、三氧化二锑、酒石酸锑钾、氯氧化锑
污染物基 本信息		分子式	化学分子式
		编号	CAS 编号、EINECS 编号
污染物毒		试验类型	急性毒性试验、慢性毒性试验(单一生命阶段试验、部分生命周期试验、全生命周期试验、多世代试验等)
性数据	试验条件	试验方法	标准毒性测试方法名称及方法编号、非标准毒性测试方法
		暴露方式	流水式、半静态、静态

	数据	类别	具体指标
		暴露浓度	暴露浓度值(实测/理论)和单位
		试验设计	对照组的设置、平行试验的数量等
		暴露时间	以天或小时计
	试验结果	毒性终点	生长(体重、体长、生长率、生物量等)、繁殖(孵化率、孵化时间、性别比等)、存活(存活率、死亡率)等
		效应指标	急性: LC <sub>50</sub> 和 EC <sub>50</sub> 等
			慢性: NOEC、LOEC、MATC、EC50和LC50等
		效应浓度	效应浓度值和单位
	毒性数据来源		国内外毒性数据库、公开发表的文献或报告等
	受试生物名称		受试生物的中文学名、常用名和拉丁名
受试 生物	生物分类信息		门、科等
	暴露	<b>喜初始生命阶段</b>	胚胎、幼体或成体等

# 4.2 资料检索

本次基准制定使用的数据来自英文毒性数据库和中英文文献数据库。毒性数据库和文献数据库纳入和剔除原则见表 6。完成毒性数据库和文献数据库筛选后,进行锑毒性数据检索,检索方案见表 7,检索结果见表 8。

表 6 数据库纳入和剔除原则

数据库类型	纳入条件	剔除原则	符合条件的数据库名称
毒性数据库	1)包含表 5 列出的数据类别和关注 指标; 2)数据条目可溯源,包括题目、作 者、期刊名、期刊号等信息	1)剔除不包含毒性测试方 法的数据; 2)剔除不包含毒性实验暴 露时间的数据;	ЕСОТОХ
文献数据库	1)包含表 5 列出的数据类别和关注指标; 2)包含中文核心期刊或科学引文索引核心期刊; 3)包含属于原创性的研究报告	1)剔除综述性论文数据; 2)剔除理论方法学论文 数据;	1)中国知识基础设施工程; 2)万方知识服务平台; 3)维普网; 4)WOS

表 7 毒理数据和文献检索方案

数据	数据库名称	检索时间	检索式			
类别	数1/h/牛石/协	<b>世系</b> 的 [5]	急性毒性	慢性毒性		
毒性数据	ЕСОТОХ	截至 2025 年 2 月 28 日之前数 据库覆盖年限	化合物名称: Antimony; 暴露介质: Freshwater; 毒性效应测试终点: EC <sub>50</sub> 或 LC <sub>50</sub>	化合物名称: Antimony; 暴露介质: Freshwater; 毒性效应测试终点: EC <sub>50</sub> 或 EC <sub>20</sub> 或 EC <sub>10</sub> 或 LC <sub>50</sub> 或 NOEC 或 LOEC 或 MATC		
文献	中国知识基础 设施工程;万 方知识服务平 台;维普网	截至 2025 年 2 月 28 日之前数 据库覆盖年限	主题: (锑+Sb)*毒性; 期刊来源类别: 核心期刊	主题: (锑+Sb)*毒性; 期刊来源类别: 核心期刊		
检索	載至 2025 年 2 WOS 月 28 日之前数 据库覆盖年限		题名: Antimony; 主题: toxicity 或 ecotoxicity 或 EC50 或 LC50	题名: Antimony; 主题: EC50或 EC20或 EC10或 LC50或 NOEC或 LOEC或 MATC		

# 表 8 毒理数据和文献检索结果

数据库类型    数据类型		数据和文献量	合计	
毒性数据库	急性毒性 145 条		223 条	
母 江剱加/牛	慢性毒性	78 条	223 宋	
文献数据库	急性毒性	2335 篇	2000 竺	
文 附 教 佑 净	慢性毒性	665 篇	3000 篇	

# 4.3 数据筛选

# 4.3.1 筛选方法

依据 HJ 831—2022 对检索获得的数据(表 8)进行筛选,筛选方法见表 9。 数据筛选时,采用两组研究人员独立完成,筛选过程中若两组研究人员对数据存 在歧义,则提交编制组统一讨论或组织专家咨询后决策。

# 表 9 数据筛选方法

	[目	筛选原则
物种筛选		a) 受试物种应能反映我国淡水生物区系特征,能充分代表水体中不同生态营养级别及其关联性,或具有重要经济价值或娱乐用途,以分布于我国境内的淡水生物为优选对象; b) 受试物种能够被驯养、繁殖并获得足够的数量,可优先考虑从国家级种质资源库、权威学术科研机构或具有相关资质的机构获取;或在某一地域范围内有充足的资源,确保有个体均匀的群体可供试验; c) 受试物种对污染物质应具有较高的敏感性及毒性反应的一致性;污染物对受试物种的毒性效应有标准的测试方法或测试方法较为成熟;e) 受试物种在人工驯养、繁殖时能保持遗传性状稳定; 当采用野外捕获物种进行毒性测试时,应通过专业的物种鉴定准确识别物种,并确保采用的生物个体未曾接触过目标污染物; g) 外来入侵物种不应作为受试物种(参见《淡水生物水质基准推导技术指南》附录C),除附录 C 中所列物种外,其他对我国自然生态系统有明确危害的淡水生物也不应作为受试物种; h) 对于我国珍稀或濒危物种、特有物种,应根据国家野生动物保护的相关法律法规选择性使用作为受试物种; i) 单细胞动物和微生物(微藻除外)不应作为受试物种。
	毒性数据分类	<ul> <li>a) 急性毒性数据一般分为生长(体重、体长、生长率、生物量等)和存活(存活率、死亡率)两类,效应指标包括 EC<sub>50</sub>和 LC<sub>50</sub>等;</li> <li>b) 慢性毒性数据一般分为生长(体重、体长、生长率、生物量等)、繁殖(孵化率、孵化时间、性别比等)和存活(存活率、死亡率)三类,效应指标包括 MATC、EC<sub>10</sub>、EC<sub>20</sub>、NOEC、LOEC、EC<sub>50</sub>和 LC<sub>50</sub>等。</li> </ul>
毒性 数据		GB/T21805、GB/T 21806、GB/T 21807、GB/T 21828、GB/T 21830、GB/T 21854、GB/T 27861、GB/T 29763、GB/T 29764、GB/T 31270.18、GB/T 31270.21、GB/T 35524、ISO 20666等),其次可参考其他标准组织或国家的相关文献,否则应对试验设计进行详细说明; b) 试验应设置空白对照组,必要时需设置阳性对照组。应尽量避免使用助溶剂或分散剂。如需使用,则应设置溶剂对照组,其浓度一般不超过 0.1mL/L,且在所有容器中浓度保持一致,同时助溶剂或分散剂不能对试验结果有显著影响; c) 试验组浓度应按照标准毒性测试方法的要求进行设定,急性毒性试验浓度间隔系数一般不超过 2.2,慢性毒性试验浓度间隔系数一般不超过 3.2; d) 急、慢性毒性试验应设置一定数量的平行,平行数量一般按照受试生物毒性测试

项	:目	筛选原则
	受试物	<ul> <li>a) 应明确受试物的准确名称及 CAS 号。当受试物为无机盐时,应说明试验结果的受试物化学形态或名称;</li> <li>b) 受试物纯度一般大于 95%,否则应进行专家判断,并根据受试物纯度对试验数据进行校正或采用以受试物表征的实测浓度。</li> </ul>
	受试生物	<ul><li>a). 应说明受试生物的拉丁名、开展暴露试验的生命阶段、来源(实验室、养殖基地、野外),野外获取的应说明获取物种的具体地理位置;</li><li>b). 试验开始前,应将受试生物在试验条件下进行驯养,标准受试生物在驯养期间的死亡率应符合测试方法要求,非标准受试生物的驯养死亡率应≤10%。</li></ul>
	暴露条件	a) 对于高挥发性、易于水解或降解的受试物,应使用实测浓度毒性数据;对于其他物质可以使用实测浓度或理论浓度数据,但在未使用助溶剂或使用理论浓度的情况下,受试物的暴露浓度应低于其水中溶解度; b) 试验系统应符合受试生物的生存特点,水质条件应根据受试生物的生存要求稳定在一定范围内,溶解氧饱和度应大于60%; c) 试验稀释用水应依据标准毒性测试方法配制或使用经曝气24h以上的自来水,不能以蒸馏水或去离子水直接作为试验稀释用水; d) 毒性试验系统的生物负荷应符合或接近标准毒性测试方法的规定; e) 一般在急性试验期间不能喂食,除非有证据表明喂食不会影响最终的试验结果; f) 急性毒性试验可采用流水式、半静态或静态暴露方式,慢性毒性试验一般采用流水式或半静态暴露方式,微藻一般适合静态或半静态暴露方式; g) 对于急性毒性数据; 动物适宜的暴露时间;轮虫为24h左右,溞类和摇蚊为48h左右,其他物种为96h左右; 植物适宜的暴露时间:96h左右; h) 对于慢性毒性数据; 动物适宜的暴露时间:96h左右; 加对于慢性毒性数据; 动物适宜的暴露时间:96h左右;
	数据分析	a) 对照组的生长率(藻类)、死亡率或活动受抑制率(动物)等变化范围应符合标准毒性测试方法的规定,对照组微藻的 72h 生长率通常不应低于 16 倍,动物存活率通常不应低于 90%; b) 应选用与生物存活、生长、繁殖等重要终点相关的试验数据,针对不同的测试终点选择相应的统计分析方法,并详述统计学参数,试验结果应具有统计学意义; c) 当同一物种的同一毒性终点试验数据之间相差 10 倍以上时,结合专业判断剔除离群值,当无法判断离群值时,弃用全部相关数据;必要时也可使用适用的统计方法判断离群值。

项目	
数据优先性	

#### 4.3.2 筛选结果

依据表 9 所示数据筛选方法对检索所得数据进行筛选,共获得数据 1445 条, 其中急性数据 19 条,慢性数据 16 条,筛选结果见表 10。

剔除数据(条) 总数 毒性 剩余数据 数据库 据量 数据 (条) 暴露时 化合物 物种 数据优先 (条) 重复 无关 间不符 不符 不符 性筛选 ATV 145 26 21 40 0 26 17 15 毒性数据库 CTV 78 16 5 36 0 10 11 341 0 2 ATV 344 0 0 中文文献数 据库 0 CTV 0 0 0 0 0 ATV 817 10 774 1 12 13 3 英文文献数 据库 CTV 0 9 15 30 5 合计(条) 1445 52 1141 82 10 53 72 35

表 10 数据筛选结果

# 4.4 数据评价

## 4.4.1 评价方法

## 4.4.1.1 评价内容

对筛选后的毒性数据进行评价,每条数据分别由2人评价,当2人评价结果不一致时,另由第3人进行评价。评价内容包括:

- a)一般使用国际标准、国家标准或行业标准毒性测试方法开展测试;
- b) 对于使用非标准毒性测试方法的测试, 所用试验方法应科学合理;

- c) 试验过程和试验结果的描述应详细;
- d) 毒性数据一般应包括幼体等相对敏感生命阶段。

## 4.4.1.2 最少毒性数据需求

用于淡水生物水质基准推导的淡水受试物种应至少涵盖生产者在内的3个营养级,以及至少包括10个物种且涵盖以下生物类群:

- a) 1种硬骨鱼纲鲤科鱼;
- b) 1 种硬骨鱼纲非鲤科鱼;
- c) 1 种浮游动物:
- d) 1 种非鱼类的底栖动物(如贝类、底栖甲壳类等);
- e) 1 种两栖类或与上述动物分属于不同门的其他水生动物:
- f) 1 种浮游植物或水生维管束植物。

#### 4.4.1.3 数据可靠性评价

依据数据可靠性评价,将毒性数据分为4类:

- a) 无限制可靠数据: 数据产生过程完全符合标准毒性测试方法;
- b) 限制性可靠数据:数据产生过程不完全符合 a) 中试验准则,但试验程序翔实、可靠,有充足的证据证明数据可用:
- c)不可靠数据:数据产生过程与 a)中试验准则有冲突或矛盾,试验设计不科学,没有充足的证据证明数据可用,试验过程不能令人信服或不为专家所接受;
  - d) 不确定数据: 没有提供足够的试验细节, 无法判断数据可靠性。

#### 4.4.1.4 可靠性数据不足时处理方式

无限制可靠数据和限制性可靠数据可用于推导基准,当可靠数据不满足 4.4.1.3 时,应开展相应的生态毒理学试验补充毒性数据,可以使用但不限于 HJ 831—2022 推荐的受试物种(参见 HJ 831—2022 的附录 B)。一般使用生物幼体 等相对敏感生命阶段的受试物种开展试验,试验方法参见国际标准、国家标准或行业标准毒性测试方法或文献。

#### 4.4.2 评价结果

对表 9 中筛选得到的 19 条急性毒性数据和 16 条慢性毒性数据进行可靠性评

价。经可靠性评价,共有35条数据可用于基准推导(见表11),其中:

急性毒性数据 19 条 (见附录 A), 涉及 14 个物种 (见表 12); 慢性数据 16 条 (见附录 B), 涉及 11 个物种 (见表 13)。

锑的化合物对水生植物的毒性数据相对较少,本报告筛选获得了 8 条用于基准推导的水生植物毒性数据,包括 8 条藻类毒性数据(附录 B)。附录 B 中藻类毒性数据终点为 LOEC、NOEC、EC<sub>50</sub>,暴露时间为 2~107 天,跨越了至少一个世代,纳入长期基准计算。

鉴于这些数据无法满足 HJ 831—2022 中"6.4.2 最少毒性数据需求"(见表22),本次基准推导需要额外开展毒性试验。

粉银司告州	なる時間	毒性数据(条)		合计
数据可靠性	评价原则	急性	慢性	(条)
无限制可靠	数据来自良好实验室规范(GLP)体系,或数据产生过程符合实验准则(参照 HJ 831—2022)相关要求	6	2	8
限制性可靠	数据产生过程不完全符合实验准则,但实验程序翔实、 可靠,有充足的证据证明数据可用;	13	14	27
不可靠	数据产生过程与相关标准中实验准则有冲突或矛盾,实 验设计不科学,没有充足的证据证明数据可用,实验过 程不能令人信服或不为专家所接受	0	0	0
不确定	没有提供足够的实验细节,无法判断数据可靠性	0	0	0
	合计(条)	19	16	35

表 11 数据可靠性评价及分布

## 4.5 实验室自测锑毒性数据

由于筛选获得的相关毒性数据较少,急慢性毒性数据均缺乏,因此本报告参考《化学品测试方法》(第二版),利用本土代表性物种开展了锑急性、慢性毒性测试。在急性毒性数据方面,获取了锑对紫萍的 48~h-LC $_{50}$ (附录 A 第 20~条)。在慢性毒性数据方面,获取了锑对中华圆田螺 28~d 慢性实验的 NOEC 和 LOEC(附录 B 第 17-18~条),测试实验报告见附录 C。

表 12 短期水质基准推导涉及的物种及毒性数据分布

序号	物种名称	毒性数据(条)	序号	物种名称	毒性数据(条)
1	鲤	1	9	多刺裸腹溞	2
2	高体鳑鲏	1	10	紫萍	1
3	斑点叉尾鮰	2	11	绿水螅	1
4	泥鳅	1	12	褐水螅	1
5	虹鳟	1	13	正颤蚓	1
6	莫桑比克罗非鱼	1	14	青虾	1
7	模糊网纹溞	1	15	近球形金星介	1
8	大型溞	4			

表 13 长期水质基准推导涉及的物种及毒性数据分布

序号	物种名称	毒性数据(条)	序号	物种名称	毒性数据(条)
1	鲫	1	7	近头状尖胞藻	4
2	鲤	1	8	普通小球藻	2
3	虹鳟	2	9	水藓	1
4	红大麻哈鱼	1	10	水溪绿球藻	1
5	日本青鳉	1	11	中华圆田螺	2
6	大型溞	1	12	东方狭口蟾	1

#### 5 基准推导

#### 5.1 毒性数据预处理

# 5.1.1 毒性数据使用

- (1) 急性毒性数据。本报告获得的急性毒性数据包括  $LC_{50}$ 和  $EC_{50}$ ,分物种将  $EC_{50}$ (不包括致死效应)作为生长类 ATV,将  $LC_{50}$ 和致死类  $EC_{50}$ 作为存活类 ATV。
- (2)慢性毒性数据。本报告获得的慢性毒性数据包括 NOEC、LOEC、MATC、  $EC_{50}$ 、 $LC_{50}$ ,对于从同一暴露实验中获得的某物种某个毒性效应的 NOEC 和 LOEC,将 NOEC 和 LOEC 代入公式(1)计算获得该物种该效应的 MATC。

$$MATC_{i,z} = \sqrt{NOEC_{i,z} \times LOEC_{i,z}}$$
 (1)

式中: MATC—最大容许毒物浓度, μg/L;

NOEC—无观察效应浓度, µg/L;

LOEC—最低观察效应浓度, µg/L;

i—某一物种,无量纲。

z-某一毒性效应, 无量纲。

# 5.1.2 同效应急性值计算

分物种将 EC<sub>50</sub>作为生长类 ATV,将 LC<sub>50</sub>作为存活类 ATV,分别代入公式(2) 计算各物种的生长类 AVE 和存活类 AVE。

$$AVE_{i,k} = \sqrt[m]{(ATV)_{i,k,1} \times (ATV)_{i,k,2} \times \dots \times (ATV)_{i,k,m}}$$
(2)

式中: AVE——同效应急性值, µg/L;

i——某一物种, 无量纲;

k——急性毒性效应种类,一般分为生长类和存活类,无量纲;

m——ATV 数量, 个;

ATV——急性毒性值,μg/L。

取生长类 AVE 和存活类 AVE 中数值较小的 AVE 纳入后续计算,如果只获得 1 个 AVE,则直接纳入后续计算。针对急性毒性数据涉及的 15 个物种,其中青虾等 14 个物种只获得存活类 AVE ,紫萍只获得存活类 AVE ,直接纳入后续模型拟合计算中(见表 14)。

表 14 不同淡水生物的同效应急性值

序号	物种名称	同效应急性值(AVE) (μg/L)			
17 5		生长类	存活类	最敏感 AVE	
1	青虾	-	1635	1635	
2	绿水螅	-	1770	1770	
3	褐水螅	-	1950	1950	
4	模糊网纹溞	-	3470	3470	
5	高体鳑鲏	-	3800	3800	

序号	物种名称	同效应急性值(AVE) (μg/L)			
厅亏		生长类	存活类	最敏感 AVE	
6	多刺裸腹溞	-	8950	8950	
7	大型溞	-	10000	10000	
8	紫萍	13150	-	13150	
9	鲤	-	14050	14050	
10	斑点叉尾鮰	-	24349	24349	
11	莫桑比克罗非鱼	-	35500	35500	
12	虹鳟	-	37000	37000	
13	泥鳅	-	60954	60954	
14	近球形金星介	-	560000	560000	
15	正颤蚓	-	678000	678000	

# 5.1.3 同效应慢性值计算

分物种按不同效应类别(生长或繁殖)将慢性毒性数据(MATC、NOEC、LOEC、EC<sub>50</sub>等,其优先序见表 9 的规定)作为生长类或繁殖类 CTV,将 LC<sub>50</sub>作为存活类 CTV,分别代入公式(3)计算各物种的生长类 CVE、繁殖类 CVE和存活类 CVE。

$$CVE_{i,j} = \sqrt[n]{CTV_{i,j,1} \times CTV_{i,j,2} \times ... \times CTV_{i,j,n}}$$
(3)

式中: CVE——同效应慢性值, µg/L;

i——某一物种,无量纲;

i——慢性毒性效应种类,一般分为生长类、存活类和繁殖类,无量纲;

*n*——CTV 数量,个;

CTV——慢性毒性值, μg/L。

如果获得多个 CVE,则取最小的 CVE 纳入后续计算,如果只获得 1 个 CVE,则直接纳入后续计算。针对慢性毒性数据涉及的 12 个物种,虹鳟同时获得生长类 CVE 和存活类 CVE,取数值较小的生长类 CVE(即最敏感 CVE)纳入后续模型拟合计算中;其余 11 个物种中,普通小球藻等 5 个物种只获得生长类 CVE,近头状尖胞藻等 2 个物种只获得繁殖类 CVE,东方狭口蟾等 4 个物种只获得存活类 CVE,直接纳入后续模型计算中(见表 15)。

表 15 不同淡水生物的同效应慢性值

	14m Feb. 67 Fe		同效应慢	性值 CVE(μg/I	.)
分写	物种名称	生长类	繁殖类	存活类	最敏感 CVE
1	普通小球藻	45.3	-	-	45.3
2	中华圆田螺	275.8	-	-	275.8
3	东方狭口蟾	-	-	300	300
4	近头状尖胞藻	-	742.4	-	742.4
5	虹鳟	3200	-	3200	3200
6	水藓	4935	-	-	4935
7	大型溞	-	5420	-	5420
8	水溪绿球藻	7787	-	-	7787
9	鲤	8000	-	-	8000
10	鲫	-	-	11300	11300
11	红大麻哈鱼	-	-	18100	18100
12	日本青鳉	-	-	300000	300000

## 5.2 模型拟合与评价

将纳入计算的 AVE 和 CVE 分别取常用对数,得到 lgAVE 和 lgCVE。lgAVE 和 lgCVE 须全部为正值,否则进行单位换算后再分别取常用对数。

将所有物种 lgAVE 和 lgCVE 分别从小到大进行排序,确定其秩次 R (最小毒性值的秩次为 1,次之秩次为 2,依次排列,如果有两个或两个以上物种的毒性值相同,则将其任意排成连续秩次),依据公式(4)分别计算物种的累积频率  $F_R$ 。

$$F_R = \frac{\sum_{1}^{R} f}{N+1} \times 100\% \tag{4}$$

式中:  $F_R$ ——累积频率;

R——毒性值的秩次,无量纲;

f——频数,指毒性值秩次R对应的物种数,个;

N——所有频数之和,个。

各物种的急性累积频率和慢性累积频率见表 16 和表 17。

表 16 同效应急性值及累积频率 ( $F_R$ )

序号	物种名称	最敏感 AVE (µg/L)	lgAVE (μg/L)	R	f (个)	F <sub>R</sub> (%)
1	青虾	1635	3.214	1	1	6.250
2	绿水螅	1770	3.248	2	1	12.50
3	褐水螅	1950	3.290	3	1	18.75
4	模糊网纹溞	3470	3.540	4	1	25.00
5	高体鳑鲏	3800	3.580	5	1	31.25
6	多刺裸腹溞	8950	3.952	6	1	37.50
7	大型溞	10000	4.000	7	1	43.75
8	紫萍	13150	4.119	8	1	50.00
9	鲤	14050	4.148	9	1	56.25
10	斑点叉尾鮰	24349	4.386	10	1	62.50
11	莫桑比克罗非鱼	35500	4.550	11	1	68.75
12	虹鳟	37000	4.568	12	1	75.00
13	泥鳅	60954	4.785	13	1	81.25
14	近球形金星介	560000	5.748	14	1	87.50
15	正颤蚓	678000	5.831	15	1	93.75

表 17 同效应慢性值及累积频率 ( $F_R$ )

序号	物种名称	最敏感 CVE (µg/L)	lgCVE(μg/L)	R	$f(\uparrow)$	$F_R$ (%)
1	普通小球藻	45.3	1.656	1	1	7.692
2	中华圆田螺	275.8	2.441	2	1	15.38
3	东方狭口蟾	300	2.477	3	1	23.08
4	近头状尖胞藻	742.4	2.871	4	1	30.77
5	虹鳟	3200	3.505	5	1	38.46
6	水藓	4935	3.693	6	1	46.15
7	大型溞	5420	3.734	7	1	53.85
8	水溪绿球藻	7787	3.891	8	1	61.54
9	鲤	8000	3.903	9	1	69.23
10	鲫	11300	4.053	10	1	76.92
11	红大麻哈鱼	18100	4.258	11	1	84.62
12	日本青鳉	300000	5.477	12	1	92.31

分别以 lgAVE 和 lgCVE 作为模型拟合时的自变量 x,以对应的累积频率  $F_R$  为因变量 y,进行 SSD 模型拟合(包括:正态分布模型、对数正态分布模型、逻辑斯蒂分布模型、对数逻辑斯蒂分布模型)。

根据模型拟合优度评价参数评价模型的拟合度,评价参数包括:

- a)均方根误差(RMSE)。RMSE 越接近于 0,表明模型拟合的精确度越高;
- b) 概率 P 值(A-D 检验)。 P>0.05,表明拟合通过 A-D 检验,模型符合理论分布。

根据拟合优度评价结果,结合专业判断,在 *P*>0.05 的拟合模型中,选择 RMSE 最小的模型作为最优拟合模型。最优拟合模型得出的曲线应与参与拟合的 数据点吻合良好,确保根据拟合的 SSD 曲线外推得出的水质基准在统计学上具有合理性和可靠性。

急性毒性数据的模型拟合结果如表 18 所示。通过 RMSE、P值(A-D 检验)的比较,逻辑斯谛分布模型 SSD 曲线拟合最优,拟合结果见图 1。

模型拟合	RMSE	P 值(A-D 检验)
正态分布模型	0.05496	>0.05
逻辑斯谛分布模型	0.04562	>0.05
对数正态分布模型	0.04594	>0.05
对数逻辑斯谛分布模型	0.04651	>0.05

表 18 短期水质基准模型拟合结果

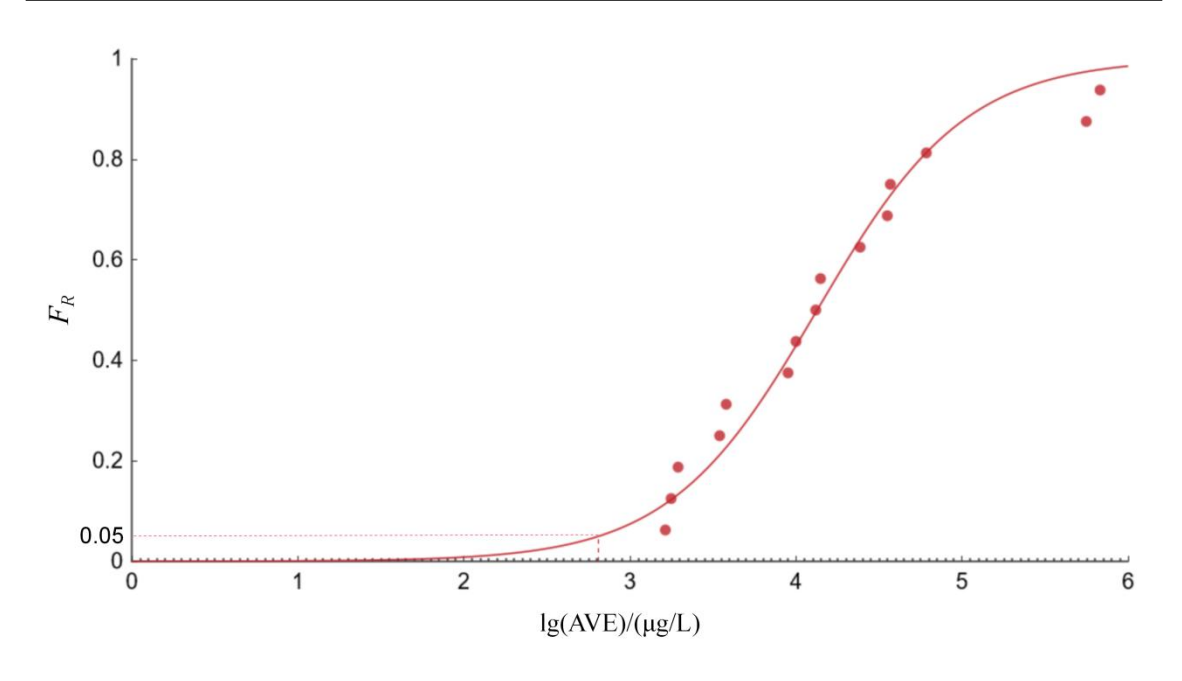


图 1 对数急性毒性—累积频率逻辑斯谛模型拟合曲线

慢性毒性数据的模型拟合结果如表 19 所示。通过 RMSE、P 值(A-D 检验)的比较,正态分布模型 SSD 曲线拟合最优,拟合结果见图 2。

 模型拟合
 RMSE
 P值 (A-D 检验)

 正态分布模型
 0.06688
 >0.05

 逻辑斯谛分布模型
 0.6936
 >0.05

 对数正态分布模型
 0.08326
 >0.05

 对数逻辑斯谛分布模型
 0.07856
 >0.05

表 19 长期水质基准模型拟合结果

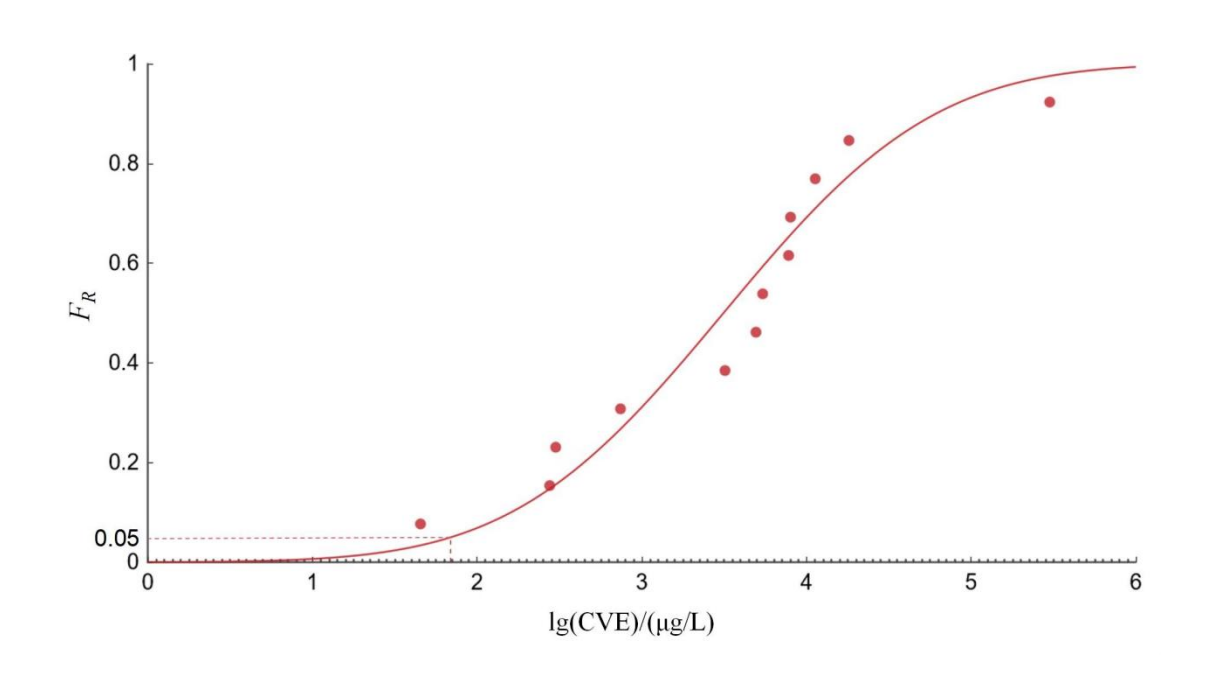


图 2 对数慢性毒性—累积频率的正态模型拟合曲线

## 5.3 物种危害浓度确定

根据"5.2 模型拟合与评价"中确定的最优拟合模型,分别确定累积频率 5%、10%、25%、50%、75%、90%、95%所对应的物种危害浓度HC<sub>5</sub>、HC<sub>10</sub>、HC<sub>25</sub>、HC<sub>50</sub>、HC<sub>75</sub>、HC<sub>90</sub>和HC<sub>95</sub>。

根据逻辑斯谛分布模型获得的短期物种危害浓度和根据正态分布模型获得的长期物种危害浓度见表 20。

表 20 锑对淡水生物的短期和长期物种危害浓度

受影响物种的累积频率 (F <sub>R</sub> )	5%	10%	25%	50%	75%	90%	95%
短期物种危害浓度(SHC <sub>x</sub> , μg/L)	647.1	1397	4331	13430	41641	129111	278749
	69.15	160.6	656.4	3138	15000	61320	142397

## 5.4 基准定值和表述

## 5.4.1 基准定值

利用公式(5)和公式(6)进行基准外推,分别计算获得短期和长期水质基准。

$$SWQC = \frac{SHC_5}{SAF}$$
 (5)

式中: SWQC——水生生物短期水质基准, μg/L;

SHC5——基于急性毒性数据推导的 5%物种危害浓度, μg/L;

SAF—水生生物短期水质基准的评估因子,无量纲。

$$LWQC = \frac{LHC_5}{LAF}$$
 (6)

式中: LWQC——水生生物长期水质基准, ug/L 或;

LHC5——基于慢性毒性数据推导的 5%物种危害浓度, ug/L;

LAF—水生生物长期水质基准的评估因子,无量纲。

AF 的数值根据推导基准所用数据的数量、受试生物涵盖范围和数据拟合分布等情况综合确定,一般取值为 2~5; 当有效毒性数据包括的物种数量大于 15时,AF 取值为 2; 有效毒性数据包括的物种数量小于等于 15时,由专家判断确定 AF 取值,一般取值为 3。

对于短期水质基准,由于基准推导所用毒性数据物种数(15)等于 15 ,且 SSD 曲线尾部拟合良好(见图 1),因此 SAF 取值为 3; 将 SHC $_5$ (647.1  $\mu$ g/L)除以 SAF(3),得到淡水 SWQC 为 215.7  $\mu$ g/L。

对于长期水质基准,由于基准推导所用毒性数据物种数(12)小于 15 ,且 SSD 曲线尾部拟合良好(见图 2),因此 LAF 取值为 3;将 LHC $_5$ (69.15 $\mu$ g/L)除以 LAF(3),得到淡水 LWQC 为 23.05  $\mu$ g/L。

#### 5.4.2 基准确定与表述

本次推导确定锑的淡水 SWQC 为 215.7  $\mu$ g/L ,淡水 LWQC 为 23.05  $\mu$ g/L(见表 21),基于重要淡水物种和仪器检出限等考虑最终确定基准。

表 21 淡水生物水质基准—锑

基准类型	HC <sub>5</sub> (μg/L)	评估因子	基准值 (μg/L)
短期水质基准	647.1	3	215.7
长期水质基准	69.15	3	23.05

#### (1) 关于重要淡水物种

本报告在推导锑的淡水 SWOC 和 LWOC 时,均使用了经济价值高和生态 学意义突出的重要淡水物种。

在推导锑的淡水基准时,依据《国家重点保护经济水生动植物资源名录(第一批)(修订)》<sup>[24]</sup>判断经济价值高的物种。依据国家重点保护野生动物名录<sup>[25]</sup> 判断濒危物种。其中短期基准推导中使用了经济价值高的鲤和青虾,未使用濒危物种;长期基准推导中使用了经济价值高的鲤和鲫,未使用濒危物种,本报告推导的锑的淡水基准均小于经济价值高的物种的最小 AVE 和最小 CVE。

### (2) 关于仪器检出限

根据《水质汞、砷、硒、铋和锑的测定原子荧光法》(HJ 694-2014)<sup>[26]</sup>, 淡水中锑的方法检出限为 0.2 μg/L。

因此,本报告中锑的淡水基准分别小于所有重要淡水物种(经济价值高或生态学意义突出)的最小 AVE 和最小 CVE,锑的淡水基准取值依据污染物毒性和 仪器检出限等信息综合确定,详见表 22,保留四位有效数字。

#### 6 质量评价

《淡水生物水质基准—锑》推导采用的方法和模型、纳入物种的营养级别与物种类群均满足标准技术要求(表 22)。所使用的毒性数据中有 11 条采用国际、国家标准测试方法,为无限制可靠数据,其余 27 条采用非标准测试方法,但所用实验方法科学合理,为限制性可靠数据。最终所得 SWQC 和 LWQC 低于我国淡水中重要物种的 AVE 和 CVE,证明该基准对重要物种可以起到有效的保护作用。

表 22 基准推导涉及物种和数据质量情况

内容	НЈ 831—2022	本基准纳入					
內谷	有关要求	SWQC	LWQC				
营养级别	生产者	1.紫萍;	1.水藓; 2.普通小球藻; 3. 水溪绿球藻; 4. 近头状尖胞藻;				

+ +	НЈ 831—2022	本基准纳入	
内容	有关要求	SWQC	LWQC
	初级消费者	1.模糊网纹溞; 2.绿水螅; 3.鲤; 4.近球 形金星介; 5.大型溞; 6.褐水螅; 7.青虾; 8.泥鳅; 9.多刺裸腹溞 10.正颤蚓; 11. 高体鳑鲏; 12.莫桑比克罗非鱼;	1.鲤; 2.大型溞; 3.鲫; 4. 中华圆田螺;
	次级消费者	1.斑点叉尾鮰; 2.虹鳟;	1.日本青鳉; 2.虹鳟; 3.红大 麻哈鱼; 4.东方狭口蟾;
	至少包括10个物种	15 个物种	12 个物种
	1 种硬骨鲤科鱼类	1.鲤; 2.高体鳑鲏;	1.鲤; 2.鲫;
物种要求	1 种硬骨非鲤科鱼类	1.斑点叉尾鮰; 2.泥鳅; 3.虹鳟; 4.莫桑 比克罗非鱼;	1.日本青鳉; 2. 虹鳟; 3. 红 大麻哈鱼;
	1 种浮游动物	1.模糊网纹溞; 2.大型溞; 3.多刺裸腹溞;	1.大型溞;
	1种(非鱼类)底栖 动物(贝类、底栖 甲壳类等)	1.近球形金星介; 2.青虾; 3.正颤蚓;	1.中华圆田螺;
物种要求	1 种浮游植物或水 生维管束植物	1.紫萍;	1.水藓; 2.普通小球藻; 3. 水 溪绿球藻; 4. 近头状尖胞藻;
	1 种两栖类或上述 未涉及的其他门类 动物	1.褐水螅; 2.绿水螅;	1.东方狭口蟾;
毒性数据	无限制可靠数据	7条	4 条
母性奴旂	限制性可靠数据	13 条	14 条

# 7 不确定性分析

- (1) 在数据来源方面,本报告的毒性数据来源仅使用中文和英文检索了 ECOTOX、WOS 数据库、CNKI 数据库、万方数据库和维普数据库,可能有部分符合 HJ831-2022 要求的文献和毒性数据未收录,导致在基准推导过程中未考虑这些数据以及相关物种;
- (2) 在受试物种的代表性方面,本报告纳入的物种数量和涵盖范围等满足 HJ831-2022 关于最少毒性数据(3 个营养级、6 类群、10 物种)要求,不能覆盖所有的淡水生物物种。

# 参考文献

- [1] US EPA. Ambient Water Quality Criteria [R]. Washington, D.C.: Criteria and Standards Division Office of Water Planning and Standards U.S. Environmental Protection Agency, 1978.
- [2] US EPA. Ambient Water Quality Criteria for Antimony [R]. Washington, D.C.: Criteria and standards Division Office of Water Planning and Standards U.S. Environmental Protection Agency 1980.
- [3] US EPA. Ambient Aquatic Life Water Quality Criteria for Antimony (III) [R]. The Criteria and Standards Division Office of Water Regulations and Standards: U.S. Environmental Protection Agency Office of Research and Development Environmental Research Laboratories, 1988.
- [4] ANZECC ARMCANZ. Australian and New Zealand Guidelines for Fresh and Marine Water Quality [R]. Canberra: Australian and New Zealand Environment and Conservation Council and Agriculture and Resource Management Council of Australia and New Zealand, 2000.
- [5] B.C. MWLRS. Antimony Water Quality Guidelines for the Protection of Freshwater Aquatic Life [R]. Victoria B.C.: B.C. Ministry of Water, Land and Resource Stewardship, 2023.
- [6] ATSDR. Toxicological Profile for Antimony and Compounds [R]. Washington (DC): US Department of Health and Human Services, 2019.
- [7] LIU X, JIANG J, YAN Y, et al. Distribution and risk assessment of metals in water, sediments, and wild fish from Jinjiang River in Chengdu, China [J]. Chemosphere, 2018, 196: 45-52.
- [8] WU Z, MA T, LAI X, et al. Concentration, distribution, and assessment of dissolved heavy metals in rivers of Lake Chaohu Basin, China [J]. J Environ Manage, 2021, 300.
- [9] HUANG X, LUO D, ZHAO D, et al. Distribution, Source and Risk
  Assessment of Heavy Metal(oid)s in Water, Sediments, and Corbicula
  Fluminea of Xijiang River, China [J]. International Journal of Environmental

- Research and Public Health, 2019, 16(10).
- [10] 李传琼, 王鹏, 陈波, 等. 鄱阳湖流域赣江水系溶解态金属元素空间分布 特征及污染来源 [J]. 湖泊科学, 2018, 30(01): 139-49.
- [11] 罗鹏程,涂耀仁, 孙婷婷, 等. 太浦河水体与沉积物中重金属的季节变化 特征与污染评价 [J]. 环境科学, 2023, 44(06): 3184-97.
- [12] LI L, TU H, ZHANG S, et al. Geochemical behaviors of antimony in mining-affected water environment (Southwest China) [J]. Environmental Geochemistry and Health, 2019, 41(6): 2397-411.
- [13] FEI J C, MIN X B, WANG Z X, et al. Health and ecological risk assessment of heavy metals pollution in an antimony mining region: a case study from South China [J]. Environmental Science and Pollution Research, 2017, 24(35): 27573-86.
- [14] WANG X, HE M, XI J, et al. Antimony distribution and mobility in rivers around the world's largest antimony mine of Xikuangshan, Hunan Province, China [J]. Microchemical Journal, 2011, 97(1): 4-11.
- [15] 客绍英, 石洪凌, 刘冬莲. 锑的污染及其毒性效应和生物有效性 [J]. 化学世界, 2005, (06): 382-4.
- [16] GEBEL T. Arsenic and antimony: comparative approach on mechanistic toxicology [J]. Chem-Biol Interact, 1997, 107(3): 131-44.
- [17] 李双双, 戴友芝, 罗春香, 等. 锑在水中的形态变化及除锑技术现状 [J]. 化工环保, 2009, 29(02): 131-4.
- [18] FILELLA M, BELZILE N, CHEN Y W. Human Exposure to Antimony. II.

  Contents in Some Human Tissues Often Used in Biomonitoring (Hair, Nails,
  Teeth) [J]. Critical Reviews in Environmental Science and Technology, 2012,
  42(10): 1058-115.
- [19] FILELLA M, WILLIAMS PA. Antimony interactions with heterogeneous complexants in waters, sediments and soils: A review of binding data for homologous compounds [J]. Geochemistry, 2012, 72: 49-65.
- [20] CHEN L H, YANG J L. Acute toxicity of antimony chloride and its effects on oxygen consumption of common carp [J]. Bulletin of Environmental Contamination and Toxicology, 2007, 78(6): 459-62.
- [21] ASHLEY P M, CRAW D, TIGHE M K, et al. Magnitudes, spatial scales and

- processes of environmental antimony mobility from orogenic gold-antimony mineral deposits, Australasia [J]. Environ Geol, 2006, 51(4): 499-507.
- [22] WILSON N J, CRAW D, HUNTER K. Antimony distribution and environmental mobility at an historic antimony smelter site, New Zealand [J]. Environ Pollut, 2004, 129(2): 257-66.
- [23] KENNEDY, C. Determining the toxicity of antimony (III) chloride and antimony (V) chloride to freshwater fish, algae, and invertebrates under varying pH conditions [J]. BioWest Environmental Research Consultants, 2023.
- [24] 中华人民共和国生态环境部. 国家重点保护经济水生动植物资源名录(第一批)(修订) [R]. 北京, 2024.
- [25] 国家林业和草原局,中华人民共和国农业农村部. 国家重点保护野生动物 名录 [R]. 北京, 2021.
- [26] 南京市环境监测中心站. 水质汞、砷、硒、铋和锑的测定原子荧光法(HJ 694-2014): [S]. 北京: 中华人民共和国生态环境部, 2014:
- [27] R.L.SPEHAR. Criteria Document Data on Antimony [J]. 1987.
- [28] TES. I. Results of Acute Toxicity Testing of Antimony Trichloride Using the Freshwater Species Chironomus tentans, Physa heterostropha, Ictalurus punctatus, Hyalella azteca, Hydra oligactis and Chlorohydra viridissimus [J]. 1990.
- [29] KHANGAROT B S, DAS S. Acute toxicity of metals and reference toxicants to a freshwater ostracod, Cypris subglobosa Sowerby, 1840 and correlation to EC50 values of other test models [J]. Journal of Hazardous Materials, 2009, 172(2-3): 641-9.
- [30] CHEN L H, YANG J L. Acute Toxicity of Antimony Chloride and its Effects on Oxygen Consumption of Common Carp (Cyprinus carpio) [J]. Bulletin of Environmental Contamination and Toxicology, 2007, 78(6): 459-62.
- [31] WAAIJERS S L, HARTMANN J, SOETER A M, et al. Toxicity of new generation flame retardants to Daphnia magna [J]. Sci Total Environ, 2013, 463-464: 1042-8.
- [32] KIMBALL G. The effects of lesser known metals and one organic to fathead minnows (Pimephales promelas) and Daphnia magna [J]. 1978.

- [33] 熊旭, 刘燕群, 叶超, 等. 环境与健康杂志 [J]. 环境与健康杂志, 2014, 31(6): 534-5.
- [34] JEN-LEE Y, TUNG-JER H, HONG-YUAN L J J O W R, et al. Sublethal antimony (III) exposure of freshwater swamp shrimp (Macrobrachium nipponense): effects on oxygen consumption and hepatopancreatic histology [J]. 2010, 2(1): 42-7.
- [35] NAM S-H, YANG C-Y, AN Y-J. Effects of antimony on aquatic organisms (Larva and embryo of Oryzias latipes, Moina macrocopa, Simocephalus mixtus, and Pseudokirchneriella subcapitata) [J]. Chemosphere, 2009, 75(7): 889-93.
- [36] DOE K, PARKER W, PONSFORD S, et al. The acute and chronic toxicity of antimony to Daphnia magna and Rainbow Trout [J]. 1987, 45: 532-3.
- [37] H.C. LIN P P H. Acute and chronic effects of antimony chloride (SbCl<sub>3</sub>) on tilapia (Oreochromis mossambicus) larvae [J]. Bulletin of Environmental Contamination and Toxicology, 1998, 61: 129-34.
- [38] YANG J L, YANG J L, CHEN L H. Toxicity of antimony, gallium, and indium toward a teleost model and a native fish species of semiconductor manufacturing districts of Taiwan [J]. Journal of Elementology, 2017, (1/2018).
- [39] KHANGAROT B S. Toxicity of metals to a freshwater tubificid worm Tubifex tubifex (Muller) [J]. Environmental Contamination and Toxicology, 1991, 46(6).
- [40] BIRGE W J. Aquatic Toxicology of Trace Elements of Coal and Fly Ash [J]. 1978.
- [41] DEN DOOREN DE JONG L E, ROMAN W B. Tolerance of Chlorella vulgaris for metallic and non-metallic ions [J]. Antonie van Leeuwenhoek, 1965, 31: 301-13.
- [42] HAMMEL W, STEUBING L, DEBUS R. Assessment of the ecotoxic potential of soil contaminants by using a soil-algae test [J]. Ecotoxicology Environmental Safety, 1998, 40(1-2): 173-6.
- [43] DíAZ S, VILLARES R, VáZQUEZ M D, et al. Physiological Effects of Exposure to Arsenic, Mercury, Antimony and Selenium in the Aquatic Moss

- Fontinalis antipyretica Hedw [J]. 2013, 224: 1-14.
- [44] KENNEDY C. Determining the toxicity of antimony (III) chloride to fish and invertebrates [J]. BioWest Environmental Research Consultants, Burnaby, BC, Canada, 2020.
- [45] US EPA. In-depth studies on health and environmental impacts of selected water pollutants [J]. 1978, (68-01): 4646.

# 附录 A 锑对中国淡水水生生物的急性毒性数据

					ATV		暴露时间	溶液化学分析	毒性效	效应指			
序号	物种名称	物种拉丁名	生命阶段	化合物名称	(mg/L)	暴露方式	(天)	情况	应终点	标	毒性测试方法	可靠性	来源
1	模糊网纹溞	Ceriodaphnia dubia	-	三氯化锑	3.47	静态	2	实测浓度	死亡	LC <sub>50</sub>	US EPA ASTM	无限制可靠	[27]
2	绿水螅	Chlorohydra viridissima	-	三氯化锑	1.77	静态	4	实测浓度	死亡	LC <sub>50</sub>	非标方法	限制性可靠	[28]
3	近球形金星介	Cypris subglobosa	-	三氧化锑	560	半静态	2	理论浓度	存活	EC <sub>50</sub>	非标方法	限制性可靠	[29]
4	鲤	Cyprinus carpio	幼体	三氯化锑	14.05	半静态	4	实测浓度	死亡	LC <sub>50</sub>	US EPA	无限制可靠	[30]
5	大型溞	Daphnia magna	幼体	三氯化锑	3.01	静态	2	实测浓度	存活	EC <sub>50</sub>	OECD	无限制可靠	[31]
6	大型溞	Daphnia magna	幼体	三氯化锑	23.5	静态	2	实测浓度	死亡	LC <sub>50</sub>	非标方法	限制性可靠	[32]
7	大型溞	Daphnia magna	幼体	三氯化锑	14	静态	2	实测浓度	死亡	LC <sub>50</sub>	非标方法	限制性可靠	[32]
8	大型溞	Daphnia magna	幼体	三氯化锑	10.1	静态	2	实测浓度	死亡	LC <sub>50</sub>	非标方法	限制性可靠	[32]
9	褐水螅	Hydra oligactis	-	三氯化锑	1.95	静态	4	实测浓度	死亡	LC <sub>50</sub>	非标方法	限制性可靠	[28]
10	斑点叉尾鮰	Ictalurus punctatus	-	三氯化锑	24.1	静态	4	实测浓度	死亡	LC50	非标方法	限制性可靠	[28]
11	斑点叉尾鮰	Ictalurus punctatus	-	三氯化锑	24.6	静态	4	实测浓度	死亡	LC <sub>50</sub>	非标方法	限制性可靠	[28]
12	泥鳅	Misgurnus anguillicaudatus	成体	三氯化锑	60.954	流水式	4	实测浓度	死亡	LC <sub>50</sub>	非标方法	限制性可靠	[33]
13	青虾	Macrobrachium nipponense	幼体	三氯化锑	1.635	半静态	4	理论浓度	死亡	LC <sub>50</sub>	非标方法	限制性可靠	[34]
14	多刺裸腹溞	Moina macrocopa	幼体	酒石酸锑钾	8.95	未报道	2	理论浓度	存活	EC <sub>50</sub>	OECD	无限制可靠	[35]
15	多刺裸腹溞	Moina macrocopa	幼体	酒石酸锑钾	8.95	未报道	2	理论浓度	死亡	LC50	OECD	无限制可靠	[35]
16	虹鳟	Oncorhynchus mykiss	幼体	酒石酸锑钾	37	静态	4	实测浓度	死亡	LC <sub>50</sub>	非标方法	限制性可靠	[36]
17	莫桑比克罗非鱼	Oreochromis mossambicus	幼体	三氯化锑	35.5	静态	4	理论浓度	死亡	LC <sub>50</sub>	非标方法	限制性可靠	[37]

	序号 物种名称	物种拉丁名	生命阶段	化合物名称	ATV	暴露方式	暴露时间	溶液化学分析	毒性效	效应指	毒性测试方法	可靠性	来源
万 5		初州亚丁石	生 即 例 权	化百初石物	(mg/L)	茶路刀八	(天)	情况	应终点	标	母工例队刀石	円非注	<i>不识</i>
18	高体鳑鲏	Rhodeus ocellatus	-	三氯化锑	3.8	流水式	4	实测浓度	死亡	LC <sub>50</sub>	OECD	无限制可靠	[38]
19	正颤蚓	Tubifex tubifex	-	三氯化锑	678	半静态	4	理论浓度	存活	EC <sub>50</sub>	非标方法	限制性可靠	[39]
20	紫萍	Spirodela polyrrhiza	-	三氯化锑	13.15	半静态	2	理论浓度	生长	EC50	GB/T	无限制可靠	自测

# 附录 B 锑对中国淡水水生生物的慢性毒性数据

					CTV		暴露时间	溶液浓度化	毒性效	效应指	毒性测试		
序号	物种名称	物种拉丁名	生命阶段	化合物名称	(mg/L)	暴露方式	(天)	学分析情况	应终点	标	方法	可靠性	来源
1	鲫	Carassius auratus	卵-幼体	三氯化锑	11.3	半静态	7	实测浓度	死亡	LC <sub>50</sub>	非标方法	限制性可靠	[40]
2	普通小球藻	Chlorella vulgaris	群体	氯氧化锑	0.064	未报道	107	理论浓度	生长	LOEC	非标方法	限制性可靠	[41]
3	普通小球藻	Chlorella vulgaris	群体	氯氧化锑	0.032	未报道	107	理论浓度	生长	NOEC	非标方法	限制性可靠	[41]
4	水溪绿球藻	Chlorococcum infusionum	-	-	7.787	-	3	-	生长	EC <sub>50</sub>	-	限制性可靠	[42]
5	鲤	Cyprinus carpio	幼体	三氯化锑	8	静态	28	理论浓度	生长	EC <sub>50</sub>	US EPA	无限制可靠	[30]
6	大型溞	Daphnia magna	幼体	三氯化锑	5.42	半静态	28	实测浓度	繁殖	MATC	非标方法	限制性可靠	[32]
7	水藓	Fontinalis antipyretica	-	三氯化锑	4.935	未报道	22	理论浓度	生长	MATC	非标方法	限制性可靠	[43]
8	东方狭口蟾	Gastrophryne carolinensis	卵-幼体	三氯化锑	0.3	半静态	7	实测浓度	死亡	LC <sub>50</sub>	非标方法	限制性可靠	[40]
9	虹鳟	Oncorhynchus mykiss	幼年	三氯化锑	3.2	-	30	-	生长	NOEC	-	限制性可靠	[44]
10	虹鳟	Oncorhynchus mykiss	幼年	三氯化锑	3.2	-	30	-	存活	NOEC	-	限制性可靠	[44]
11	红大麻哈鱼	Oncorhynchus nerka	幼年	三氯化锑	18.1	-	30	-	存活	MATC	-	限制性可靠	[23]
12	日本青鳉	Oryzias latipes	卵-幼体	酒石酸锑钾	300	静态	14	理论浓度	死亡	NOEC	OECD	无限制可靠	[35]
13	近头状尖胞藻	Raphidocelis subcapitata	群体	三氧化锑	0.74	静态	2	理论浓度	繁殖	EC <sub>50</sub>	非标方法	限制性可靠	[45]
14	近头状尖胞藻	Raphidocelis subcapitata	群体	三氧化锑	0.73	静态	3	理论浓度	繁殖	EC <sub>50</sub>	非标方法	限制性可靠	[45]
15	近头状尖胞藻	Raphidocelis subcapitata	群体	三氧化锑	0.76	静态	4	理论浓度	繁殖	EC50	非标方法	限制性可靠	[45]
16	近头状尖胞藻	Raphidocelis subcapitata	群体	三氧化锑	0.74	静态	4	理论浓度	繁殖	EC <sub>50</sub>	非标方法	限制性可靠	[45]

序号 物种名称	物新夕粉	物种拉丁名	生命阶段	化合物名称	CTV	暴露方式	暴露时间	溶液浓度化	毒性效	效应指	毒性测试	可靠性	来源
	初件拉丁石	工工 工 工	化日初石物	(mg/L)	茶路刀八 「	(天)	学分析情况 应终点	应终点	点标	方法	り非性	<i></i>	
17	中华圆田螺	Cipangopaludina cahayensis	-	三氯化锑	0.338	半静态	28	理论浓度	死亡	LOEC	GB/T	无限制可靠	自测
18	中华圆田螺	Cipangopaludina cahayensis	-	三氯化锑	0.225	半静态	28	理论浓度	死亡	NOEC	GB/T	无限制可靠	自测

# 附录 C 实验室自测毒性数据实验报告

- C.1 锑对紫背浮萍的 48 h 急性毒性实验
- C.1.1 材料与方法
- C.1.1.1 实验方法

参考 GB/T 35524 化学品浮萍生长抑制试验。

- C.1.1.2 化学试剂
- 三氯化锑 (分析纯)
- C.1.1.3 受试生物

紫萍 (Spirodela polyrrhiza)

#### C.1.1.4 预实验设计

实验开始前将紫背浮萍植株在实验用 Swedish Standard 浮萍生长培养基中培养至少 8 周,培养期间空白对照组叶状体数量的倍增时间约为 60 h。

采用静态实验方法,以 120°C灭菌 15 min 的 Swedish Standard 培养基为实验 用水,设定 6 个实验组(1 个空白对照组,5 个浓度组),空白对照组锑浓度均为 0.0 mg/L,5 个浓度组锑浓度分别为 10.0 mg/L、20.0 mg/L、30.0 mg/L、40.0 mg/L和 50.0 mg/L,不设重复组。备 6 个容器,每个容积 250 mL,分别放入 150 mL溶液,在无菌条件下,接入叶状体 12 片(3 个克隆体),保持溶液温度为  $23 \pm 1$ °C,暴露时间为 48 h,以紫背浮萍叶面积作为效应指标,利用计算机软件(10 mage J)通过图形分析并计算叶面积大小,实验开始和结束时观察并记录叶面积,及时清理枯死叶状体。

#### C.1.1.5 正式实验设计

以 120℃灭菌 15min 的 Swedish Standard 培养基为实验用水,根据预实验结果设定 6 个实验组(1 个空白对照组,5 个浓度组),锑溶度分别为 10.0 mg/L、15.0 mg/L、20.0 mg/L、25.0 mg/L 和 30.0 mg/L。每个实验组设置 3 个重复组,随机编号#1、#2 和#3,相同编号的重复组组成 1 个平行组,共 3 个平行组,依次编号为平行组 A、平行组 B 和平行组 C。备 18 个容器,每个容积 250 mL,分别放入 150mL 溶液,在无菌条件下,接入叶状体 12 片(3 个克隆体),实验容器在培养箱中随机摆放。

采用静态实验方法,实验过程中每 24h 分别测定各浓度组的溶解氧、pH 值、温度以及锑浓度,保持溶液温度为 24±1℃,pH 值为 7.1±0.3,溶解氧超过饱和溶解度的 80%,锑浓度波动不超过 20%。实验暴露周期为 48h,实验开始和结束时

观察并记录叶面积, 及时清理枯死叶状体。

C.1.1.6 受试生物的生长率、生长率抑制率和平均生长率抑制率

利用公式1计算各实验容器内的受试生物的生长率。

$$U_{Z} = \frac{\ln M_{z,2} - \ln M_{z,1}}{t_{z}} \tag{1}$$

式中, $U_z$ —实验容器 z 内的受试生物的生长率, $d^{-1}$ ;

 $M_{z,1}$ —实验容器 z 内实验开始时受试生物的计算生长率的效应指标;

 $M_{z,2}$ —实验容器 z 内实验结束时受试生物的计算生长率的效应指标;

 $t_z$ —实验容器 z 实验开始与结束的间隔时间,d;

z—进行毒性实验的某一实验容器,无量纲。

利用公式2计算各实验容器内的受试生物的生长率抑制率。

$$V_{Z} = \frac{U_{0-U_{Z}}}{U_{0}} \times 100\% \tag{2}$$

式中:  $V_z$ —实验容器 z 内的受试生物的生长率抑制率, %;

 $U_0$ —空白对照组受试生物的生长率的算术平均值, $d^{-1}$ :

 $U_z$ —实验容器 z 内的受试生物的生长率,  $d^{-1}$ :

z—进行毒性实验的某一实验容器,无量纲。

利用公式3计算各实验容器内的受试生物的平均生长率抑制率。

$$V_{j}^{h'} = \frac{U_{0-U_{j}}}{U_{0}} \times 100\% \tag{3}$$

式中: V—实验组 i'受试生物的平均生长率抑制率, %;

 $U_0$ —空白对照组受试生物的生长率的算术平均值, $d^{-1}$ ;

 $U_i$ —实验组 i'受试生物的生长率的算术平均值, $d^{-1}$ ;

i'—非空白对照组的某一实验组, 无量纲:

h'—实验组 i'的个数,个。

#### C.1.1.7 数据分布检验

- (1) 正态性检验。对每个平行组紫背浮萍的 48 h 生长率分别进行正态分布检验(S-W 检验):
- (2) 单因素方差分析。对 3 个平行组紫背浮萍的 48 h 生长率进行组间方差 齐性检验(Levene 检验)和均值差异分析(Tukey 检验)。

#### C.1.1.8 模型拟合

对于符合正态分布、满足方差齐性且3个平行组间紫背浮萍的48h生长率均值无显著性差异的数据,利用公式3计算各实验组平均生长率抑制率,以各实验组锑浓度的常用对数值为(浓度对数)自变量X,以相应的各实验组的平均生长率抑制率为因变量Y进行线性拟合分析,得到锑对紫背浮萍48h急性毒性实验的线性回归方程。

#### C.1.1.9 锑对紫背浮萍的 48 h 急性毒性值 EC50 推导

利用线性回归方程,推导锑对紫背浮萍的 48 h 急性毒性值 EC<sub>50</sub>,具体步骤为:

- 1)将Y=50(对应的平均生长率抑制率为50%)代入线性回归方程,计算获得X值:
  - 2)将 X 取反对数即得到以锑浓度表示的 EC50 值;
  - 3) 计算获得 EC50 的 95% 置信区间。

#### C.1.1.10 数据分析软件

本实验数据分析采用的软件为 IBM SPSS Statistics 23。

#### C.1.2 实验结果

#### C.1.2.1 预实验

锑溶液浓度低于 20.0 mg/L 时紫背浮萍生长叶面积没有出现抑制,溶液浓度为 20.0mg/L 时,紫背浮萍生长叶面积生长率抑制率超过 100%。

# C.1.2.2 正式实验

锑对紫背浮萍 48 h 急性毒性结果见表 C-1。

数据分布检验结果显示 (表 C-2),3个平行组紫背浮萍 48 h 的生长率符合 正态分布、满足方差齐性且平行组间紫背浮萍的 48 h 生长率均值无显著性差异,满足对紫背浮萍 48 h 的锑急性毒性数据进行线性拟合的条件。

锑对紫背浮萍 48 h 急性毒性实验的线性回归方程及锑对紫背浮萍 48 h 的急性毒性值  $EC_{50}$  见表 C-3。

实验组	重复	初始叶面积(mm²)	结東叶面积(mm²)	生长率 (d <sup>-1</sup> )	平均生长率抑制率(%)
	#1	65.8	90.6	0.16	
空白对照	#2	53.3	66.7	0.11	-
	#3	60.8	79.0	0.13	

表 C-1 锑对紫背浮萍 48 h 急性毒性结果

实验组	重复	初始叶面积(mm²)	结東叶面积(mm²)	生长率 (d <sup>-1</sup> )	平均生长率抑制率 (%)
10mg/L	#1	70.9	94.8	0.15	
	#2	56.0	69.2	0.11	0.051
	#3	63.3	82.3	0.13	
	#1	69.0	78.5	0.06	
15mg/L	#2	86.4	96.2	0.05	0.5592
	#3	75.3	84.8	0.06	
20mg/L	#1	52.2	43.4	-0.09	
	#2	98.3	95.2	-0.02	1.417
	#3	78.2	69.4	-0.06	
25mg/L	#1	59.0	48.7	-0.10	
	#2	103.0	86.5	-0.09	1.707
	#3	79.3	64.7	-0.10	
30mg/L	#1	65.2	53.1	-0.10	
	#2	79.6	62.8	-0.12	1.867
	#3	71.2	55.1	-0.13	

# 表 C-2 数据分布检验结果

内容	检验结果			
	平行组 A	P=0.056		
正态性检验	平行组 B	P=0.349		
	平行组 C	P=0.214		
平行组间方差齐性检验	F=0.009,p>0.05			
	平行组 A/B	q=0.143,p>0.05		
平行组间均值差异分析	平行组 A/C	q=0.179,p>0.05		
	平行组 B/C	q=0.036,p>0.05		

# 表 C-3 锑对紫背浮萍 48 h 的急性毒性线性拟合结果

拟合方程	R <sup>2</sup>	P	48h-EC <sub>50</sub> (95%置信区间) (三氯化锑,mg/L)	水体温度(℃)	水体 pH 值
y=-4.0729+4.088x	0.9691	<0.01	13.15 (9.247~18.66)	24	6.5

#### C.2 锑对中华圆田螺的 28 d 慢性毒性实验

#### C.2.1 材料与方法

# C.2.1.1 实验方法

参考 GB/T 31270.21 化学农药环境安全评价试验准则 第 21 部分: 大型甲壳类生物毒性试验。

#### C.2.1.2 化学试剂

三氯化锑 (分析纯)

#### C.2.1.3 受试生物

中华圆田螺(*Cipangopaludina cahayensis*): 壳高 2.0±0.2 cm, 体重 2.4±0.3 g。 实验开始前在室内驯养至少一周,驯养期间死亡率低于 5%。

## C.2.1.4 实验设计

以室温条件下强制曝气至少 48 h 的自来水作为实验用水,根据急性毒性实验结果设定7个实验组(1个空白对照组,6个浓度组),锑溶液浓度分别为 0.0 mg/L、0.150 mg/L、0.225 mg/L、0.338 mg/L、0.506 mg/L、0.760 mg/L、1.140 mg/L。每个实验组设置 3 个重复组,备 21 个容器,每个容积 2000 mL,分别放入 1200 mL溶液,随机选取 10 个中华圆田螺放入每个容器中。

采用半静态实验方法,每4天定量给每只田螺喂食10 mg 螺旋藻,暴露过程中持续曝气,每4d更换相应浓度的溶液,每天分别测定各溶液溶解氧、pH值、温度和锑浓度(从每个浓度梯度的3个重复组中等量取样混合后测定锑浓度)。保持溶液温度为20±1℃,pH值为7.0±0.2,溶解氧超过饱和溶解度的80%,锑浓度波动不超过20%。以死亡率作为效应指标,每天观察并记录螺的附着力、活力及死亡情况,及时清除死螺。死亡判断标准为用解剖针多次触碰其厣部(螺类介壳口圆片状的盖),没有反应即认为死亡。

#### C.2.1.5 数据分布检验

- (1) 正态性检验。对每个平行组中华圆田螺的 28 d 死亡率数据分别进行正态分布检验(Shapiro-Wilk 检验);
- (2) 单因素方差分析。对每个平行组中华圆田螺的 28 d 死亡率数据进行组间方差齐性检验(Levene 检验)和均值差异分析(One-way ANOVA 分析)。

#### C.2.1.6 锑对中华圆田螺 28 d 致死的 NOEC 和 LOEC 确定

对于符合正态分布、满足方差齐性且每个平行组间中华圆田螺的 28d 死亡率

均值无显著性差异的数据,进行实验组间中华圆田螺的 28d 死亡率均值差异分析 (Tukey 检验)。与空白对照组相比,中华圆田螺的 28d 死亡率开始出现显著性差异的实验组浓度为 LOEC,与 NOEC 相邻的更小的实验组锑浓度为 NOEC。

# C.2.1.7 数据分析软件

本实验数据分析采用的软件为 IBM SPSS Statistics 23。

# C.2.2 实验结果

锑对中华圆田螺 28 d 的慢性毒性实验结果见表 C-4。

数据分布检验结果显示(表 C-5),每个平行组中华圆田螺 28 d 死亡率符合正态分布、满足方差齐性且平行组间中华圆田螺的 28 d 死亡率均值无显著性差异,满足对实验组间中华圆田螺 28 d 死亡率均值差异分析条件。

实验组间死亡率均值差异分析结果(表 C-6)表明,与空白对照组相比,从 0.225 mg/L 组开始,中华圆田螺 28 d 的死亡率出现显著差异,确定锑对中华圆田螺 28 d 致死的 NOEC 和 LOEC 值分别为 0.225 mg/L 和 0.338 mg/L(表 C-7)。

表 C-4 锑对中华圆田螺 28 d 的慢性毒性实验结果

实验组(mg/L)	重复组	受试生物数量 (个)	死亡数量 (个)	死亡率 (%)
	#1	10	0	0
空白对照	#2	10	0	0
	#3	10	0	0
	#1	10	1	10
0.150	#2	10	0	0
	#3	10	1	10
	#1	10	2	20
0.225	#2	10	1	10
	#3	10	2	20
	#1	10	3	30
0.338	#2	10	2	20
	#3	10	2	20
	#1	10	3	30
0.506	#2	10	3	30
	#3	10	3	30

实验组(mg/L)	重复组	受试生物数量 (个)	死亡数量 (个)	死亡率 (%)
	#1	10	2	20
0.760	#2	10	4	40
	#3	10	4	40
	#1	10	4	40
1.140	#2	10	3	30
	#3	10	4	40

# 表 C-5 锑对中华圆田螺 28 d 的慢性毒性实验数据分布检验结果

内容	检验结果	
	平行组 A	P=0.873>0.05
正态性检验	平行组 B	P=0.420>0.05
	平行组 C	P=0.591>0.05
平行组间方差齐性检验	P=0.777>0.05	
	平行组 A/B	P=0.721>0.05
平行组间均值差异分析	平行组 A/C	P=0.858>0.05
	平行组 B/C	P=0.593>0.05

# 表 C-6 锑对中华圆田螺 28 d 的慢性毒性实验组间均值差异分析结果

内	检验结果	
	0.150 mg/L/空白对照	P=0.831>0.05
	0.225 mg/L/空白对照	P=0.060>0.05
实验组间均值差异分析	0.338 mg/L/空白对照	P=0.006<0.05
<u> </u>	0.506 mg/L/空白对照	P=0.001<0.05
	0.760 mg/L/空白对照	P=0.000<0.05
	1.140 mg/L/空白对照	P=0.000<0.05

# 表 C-7 锑对中华圆田螺 28 d 的致死的 NOEC 和 LOEC

暴露时间 (d)	慢性毒性值(mg/L)		实验水质条件	
	NOEC	LOEC	水体温度(℃)	水体 pH
28	0.225	0.338	20	7.0